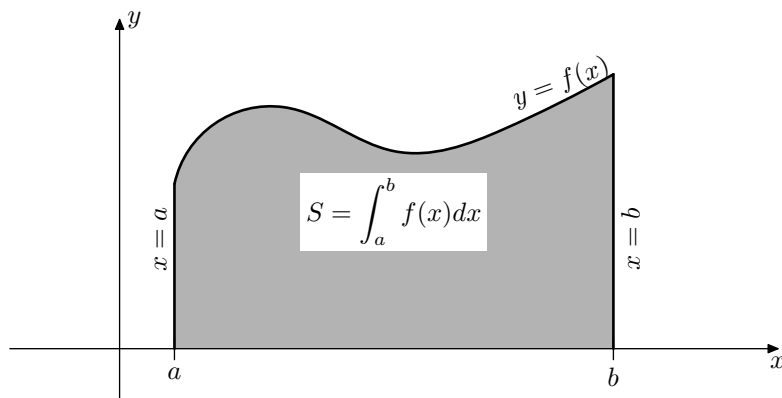


## 5.9 Pindala arvutamine ristkoordinaatides

Kui lõigul  $[a; b]$  funktsioon  $f(x) \geq 0$ , siis määratud integraal tähendab geomeetriliselt niisuguse kõvertrapetsi pindala, mis on piiratud alt  $x$ -teljega, ülalt funktsiooni  $y = f(x)$  graafikuga, vasakult sirgega  $x = a$  ja paremalt sirgega  $x = b$ .

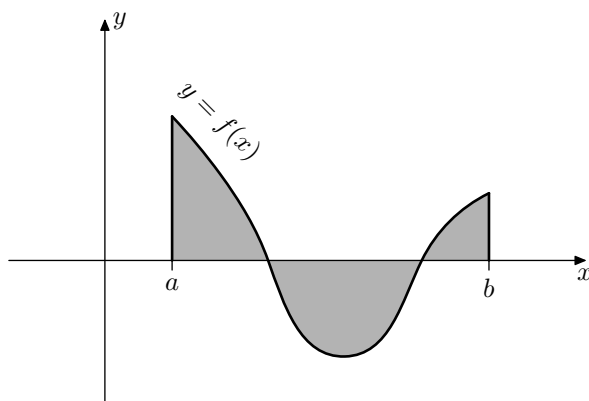


Joonis 5.1. kõvertrapetsi, kui  $f(x) \geq 0$

Joonisel 5.1 esitatud kõvertrapetsi pindala on

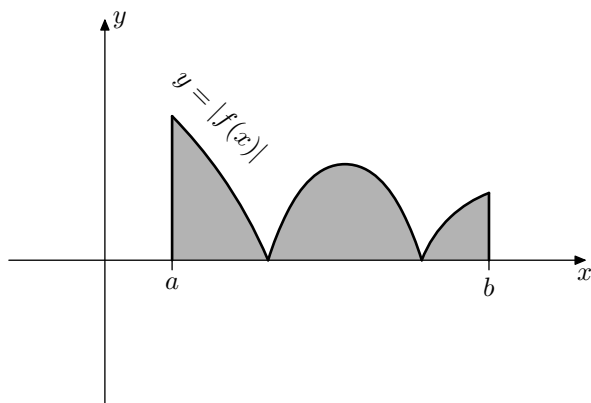
$$S_{abBA} = \int_a^b f(x) dx. \quad (5.1)$$

Oletame, et funktsioon  $f$  võib lõigul  $[a; b]$  omada ka negatiivseid väärtusi. Olgu vaja arvutada joonisel 5.2 esitatud kujundi, mis on piiratud sirgetega  $x = a$ ,  $x = b$ ,  $x$ -teljega ja funktsiooni  $y = f(x)$  graafikuga, pindala.



Joonis 5.2. Funktsiooni graafikuga ja  $x$ -teljega piiratud kõvertrapets

Kui asendada funktsioon  $y = f(x)$  funktsiooniga  $y = |f(x)|$ , siis funktsiooni  $y = |f(x)|$  graafiku ja  $x$ -teljega (joonis 5.3) piiratud kujundi pindala on võrdne joonisel 5.2 toodud kujundi pindalaga.



Joonis 5.3. Funktsiooni absoluutväärtuse graafikuga ja  $x$ -teljega piiratud kõvertarpets

Kuid  $|f(x)| \geq 0$  tõttu on joonisel 5.3 esitatud kujundi pindala (seega ka joonisel 5.2 esitatud kujundi pindala) on (5.1) tõttu

$$S = \int_a^b |f(x)| dx. \quad (5.2)$$

**Näide 1.** Leiame sinusoidiga ja  $x$ -teljega piiratud kujundi ruumala, kui  $x \in [0; 2\pi]$ .

Kujund, mille pindala tuleb leida, on joonisel 5.4. Pindala arvtutamise valemist (5.2)

$$S = \int_0^{2\pi} |\sin x| dx.$$

Määratud integraali lõigul aditiivsuse omaduse tõttu

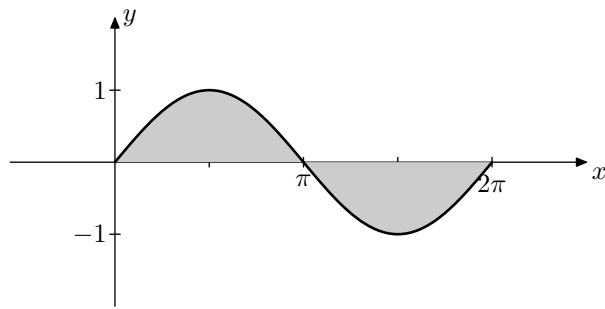
$$S = \int_0^{\pi} |\sin x| dx + \int_{\pi}^{2\pi} |\sin x| dx.$$

Et aga

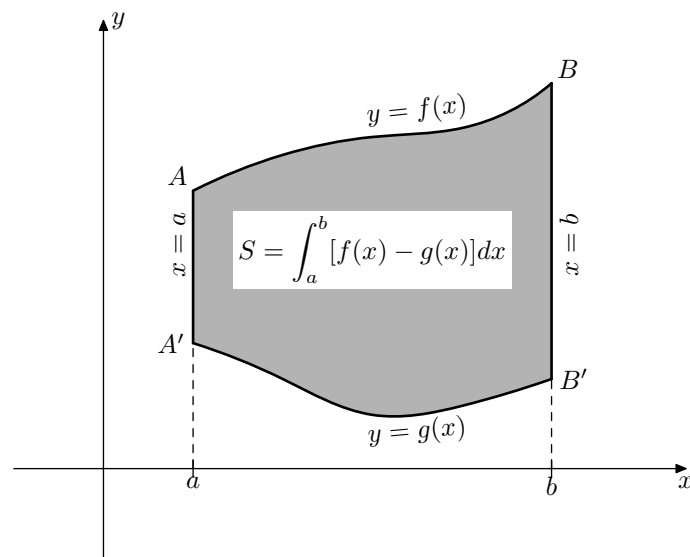
$$|\sin x| = \begin{cases} \sin x, & \text{kui } \sin x \geq 0 \text{ ehk } x \in [0; \pi] \\ -\sin x, & \text{kui } \sin x < 0 \text{ ehk } x \in (\pi; 2\pi), \end{cases}$$

siis

$$\begin{aligned} S &= \int_0^{\pi} \sin x dx - \int_{\pi}^{2\pi} \sin x dx \\ &= -\cos x \Big|_0^{\pi} + \cos x \Big|_{\pi}^{2\pi} = -(-1 - 1) + 1 - (-1) = 4. \end{aligned}$$



Joonis 5.4. Sinusoidi ühe perioodi graafikuga ja  $x$ -teljega piiratud kõvertarpets



Joonis 5.5. Kahe funktsiooni graafikuga piiratud kõvertarpetsi pindala

Järgnevalt vaatleme kõvertrapetsit, mis ei ole alt piiratud  $x$ -teljega, vaid funktsiooni  $y = g(x)$  graafikuga. Piirkond on kujutatud joonisel 5.5. Ilmselt on kõvertrapetsi  $A'B'BA$  pindala kõvertrapetsite  $abBA$  ja  $abB'A'$  pindalade vahe.

$$S_{A'B'BA} = S_{abBA} - S_{abB'A'}.$$

Kuid (5.1) järgi

$$S_{A'B'BA} = \int_a^b f(x)dx - \int_a^b g(x)dx,$$

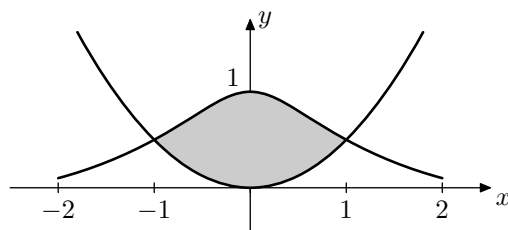
ehk määratud interdaali omaduse tõttu

$$S_{A'B'BA} = \int_a^b [f(x) - g(x)]dx. \quad (5.3)$$

**Märkus.** Joonisel 5.5 on eeldatud, et lõigul  $[a; b]$  on  $0 \leq g(x) \leq f(x)$ . Tegelikult on mittenegatiivsuse nõue liigne. Valem kehtib, kui lõigul  $[a; b]$  on täidetud tingimus  $g(x) \leq f(x)$ .

**Näide 2.** Arvutame joonega  $y = \frac{1}{1+x^2}$  ja parabooliga  $y = \frac{x^2}{2}$  piiratud kujundi pindala.

Mõlemad vaadeldavad funktsioonid on paarisfunktsioonid, seega mõlema graafikud ja järelkult ka nendega piiratud kujund (joonis 5.6) sümmeetriline  $y$ -telje suhtes. Joonte lõikepunktide abstsisside leidmiseks lahendame võrran-



Joonis 5.6. Joonega  $y = \frac{1}{1+x^2}$  ja parabooliga  $y = \frac{x^2}{2}$  piiratud kõvertrapets

di

$$\frac{1}{1+x^2} = \frac{x^2}{2}.$$

Antud võrrandist saame biruutvõrrandi  $x^4 + x^2 - 2 = 0$ , millest  $x^2 = 1$  või  $x^2 = -2$ . Teisel võrrandil reaalarvulised lahendid puuduvad, esimesel on aga kaks lahendit  $x_1 = -1$  ja  $x_2 = 1$ , mis on ühtlasi joonte lõikepunktide abstsissid. Seega (5.3) tõttu on joonisel 5.6 oleva kõvertrapetsi pindala

$$S = 2 \int_0^1 \left( \frac{1}{1+x^2} - \frac{x^2}{2} \right) dx = 2 \left( \arctan x - \frac{x^3}{6} \right) \Big|_0^1 = 2 \left( \frac{\pi}{4} - \frac{1}{6} \right) = \frac{\pi}{2} - \frac{1}{3}.$$

Edasi oletame, et kõvertrapets on ülalt piiratud parameetrilisel kujul esitatud joonega

$$\begin{cases} x = x(t), \\ y = y(t), \end{cases}$$

mis on esitatud joonisel 5.7.

Eeldame, et punktis  $A$  on parameetri  $t$  väärtus  $\alpha$  ja punktis  $B$   $t = \beta$ . Et punktis  $A$  on  $x = a$  ja punktis  $B$  on  $x = b$ , siis

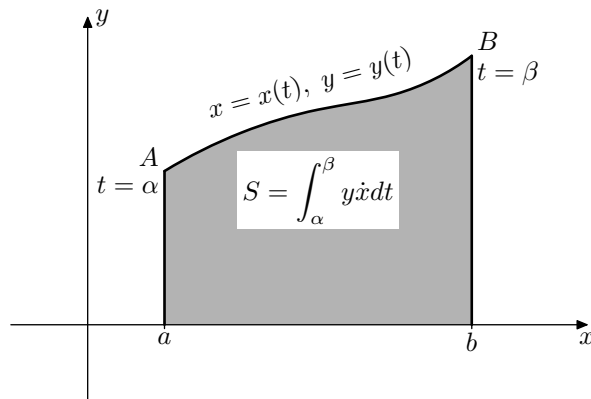
$$a = x(\alpha) \quad \text{ja} \quad b = x(\beta). \quad (5.4)$$

Kirjutame kõvertrapetsi pindala (5.1) integraalina

$$S_{abBA} = \int_a^b y dx$$

ja läheme selles integraalis üle muutujale  $t$ . Muutuja  $y$  on parameetristest võrranditest asendatav, muutja  $x$  diferentsiaal  $dx = \dot{x}dt$  ja rajad muutuja  $t$  jaoks saame võrranditest (5.4). Asendades saame, et antud juhul on kõvertarpetsi  $abBA$  pindala arvutatav valemist

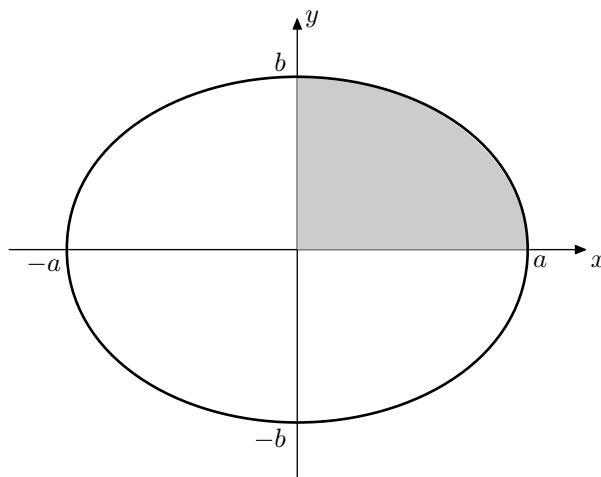
$$S_{abBA} = \int_{\alpha}^{\beta} y \dot{x} dt. \quad (5.5)$$



Joonis 5.7. Parameetrisel kujul esitatud funktsiooni graafikuga piiratud kõvertarpetsi pindala

**Näide 3.** Arvutame ellipsiga  $x = a \cos t, y = b \sin t$  piiratud kujundi pindala.

Antud ellips on kujutatud joonisel 5.8.



Joonis 5.8. Ellipsi pooltelgedega  $a$  ja  $b$

Ellipsi keskpunkt on koordinaatide alguspunktis ja poolteljed on  $a$  ning  $b$ . Et vaadeldav ellips on sümmeetriline mõlema koordinaattelje suhtes, siis

arvutame koordinaattasandi esimeses veerandis paikneva osa pindala ja korrutame selle 4-ga. Veerandi ellipsi vasakpoolses otspunktis  $x = 0$  ja  $y = b$ , seega parameeter  $t = \frac{\pi}{2}$ , parempoolses punktis aga  $x = a$  ja  $y = 0$ , seega  $t = 0$ . Leides veel  $\dot{x} = -a \sin t$ , saame valemist (5.5) ellipsi pindala

$$S = 4 \int_{\frac{\pi}{2}}^0 b \sin t (-a \sin t) dt = -4ab \int_{\frac{\pi}{2}}^0 \sin^2 t dt.$$

Pärast rajade vahetamist ja poolnurga siinuse valemi kasutamist

$$\begin{aligned} S &= 2ab \int_0^{\frac{\pi}{2}} (1 - \cos 2t) dt = 2ab \int_0^{\frac{\pi}{2}} dt - ab \int_0^{\frac{\pi}{2}} \cos 2t d(2t) = \\ &= 2abt \Big|_0^{\frac{\pi}{2}} - ab \sin 2t \Big|_0^{\frac{\pi}{2}} = \pi ab. \end{aligned}$$

## 5.10 Polaarkoordinaadistik. Pindala arvutamine polaar-koordinaatides

Peale Cartesiuse ristkoordinaadistiku on kasutusel veel teisi taustsüsteeme, mille suhtes punkti asukoht tasandil on üheselt määratud. Üheks selliseks taustsüsteemiks on *polaarkoordinaadistik*, mis koosneb ühest fikseeritud punktist tasandil, nn *poolusest* ja sellest punktist lähtuvast teljest, nn *polaarteljest*.



Joonis 5.9. Polaarkoordinaadistik

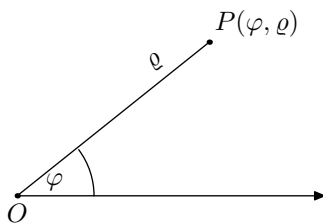
Polaarkoordinaadistikus on punkti  $P$  asukoht üheselt määratud *polaarnurgaga*, so nurgaga  $\varphi$ , mis jääb punkti  $P$  ja poolust  $O$  ühendava sirge ja polaar telje vahele, ning *polaar kauguse* ehk *polaarraadiusega*  $\varrho$ , so punkti  $P$  kaugusega poolusest  $O$  ehk vektori  $\overrightarrow{OP}$  pikkusega (vt joonis 5.10).

Polaarnurka  $\varphi$  ja polaarraadiust  $\varrho = |\overrightarrow{OP}|$  nimetatakse punkti  $P$  *polaarkoordinaatideks*. Seda asjaolu märgitakse  $P(\varphi, \varrho)$ .

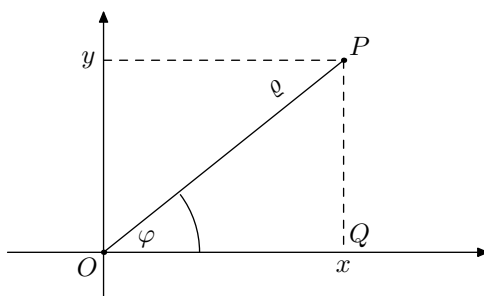
Järgnevalt leiame seosed punkti  $P$  polaarkoordinaatide ja ristkoordinaatide vahel, kui ristkoordinaadistik on paigutatud polaarkoordinaadistiku suhtes nii, et  $x$ -telje positiivne suund ühtib polaar telje suunaga ja  $y$ -telg on tõmmatud risti  $x$ -teljega läbi pooluse.

Olgu punkti  $P$  ristkoordinaadid  $x$  ja  $y$  ning polaarkoordinaadid  $\varphi$  ja  $\varrho$ . Joonisel 5.11 esitatud täisnurksest kolmnurgast  $OQP$  saame, et  $\cos \varphi = \frac{x}{\varrho}$  ja  $\sin \varphi = \frac{y}{\varrho}$ , millest

$$\begin{cases} x = \varrho \cos \varphi \\ y = \varrho \sin \varphi \end{cases} \quad (5.6)$$



Joonis 5.10. Punkti  $P$  polaarkoordinaadid



Joonis 5.11. Rist- ja polaarkoordinaadid

Tõstes võrrandites (5.6) mõlemad pooled ruutu ja liites, saame, et  $x^2 + y^2 = \rho^2 \cos^2 \varphi + \rho^2 \sin^2 \varphi$ , millest

$$\rho = \sqrt{x^2 + y^2} \quad (5.7)$$

Jagades võrdustest (5.6) teise esimesega, eeldusel, et  $x > 0$ , saame  $\frac{y}{x} = \tan \varphi$ . Et arkustangensi väärtused on kõik vahemikus  $(-\frac{\pi}{2}; \frac{\pi}{2})$ , aga polaarnurk muutub poollõigul  $(-\pi; \pi]$ , siis tuleb polaarnurga üheseks määramiseks ristkoordinaatide  $x$  ja  $y$  järgi kasutada valemit

$$\varphi = \begin{cases} \arctan \frac{y}{x}, & \text{kui } x > 0, \\ \arctan \frac{y}{x} + \pi, & \text{kui } x < 0 \text{ } y > 0, \\ \arctan \frac{y}{x} - \pi, & \text{kui } x < 0 \text{ } y < 0, \\ \frac{\pi}{2}, & \text{kui } x = 0 \text{ } y > 0, \\ -\frac{\pi}{2}, & \text{kui } x = 0 \text{ } y < 0, \end{cases} \quad (5.8)$$

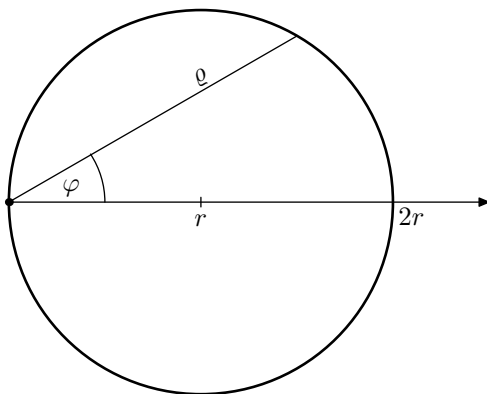
Paljudel funktsioonidel on polaarkoordinaadistikus oluliselt lihtsam esitusviis kui ristkoordinaatides. Polaarkoordinaatide puhul loetakse tavaliselt argumentiks polaarnurk  $\varphi$  ja funktsiooniks polaarraadius  $\rho$ . Seega funktsioon polaarkoordinaatides esitatakse sõltuvusena  $\rho = \rho(\varphi)$ , mis iseloomustab, kuidas polaarraadius sõltub polaarnurgast.

**Näide 1.** Teisendame ilmutamata kujul antud funktsiooni  $(x-r)^2 + y^2 = r^2$  polaarkoordinaatidesse.

Selle funktsiooni graafikuks on ringjoon keskpunktiga  $(r; 0)$  ja raadiusega  $r$ . Avades antud võrduses sulud, saame  $x^2 - 2rx + r^2 + y^2 = r^2$  ehk  $x^2 + y^2 = 2rx$ . Minnes teisenduste (5.6) abil üle polaarkoordinaatidele, saame  $\varrho^2 = 2r\varrho \cos \varphi$  ehk

$$\varrho = 2r \cos \varphi.$$

Näeme, et polaarraadius  $\varrho$  avaldub polaarnurga  $\varphi$  suhteliselt lihtsa ilmutatud funktsioonina, mille graafikuks olev ringjoon on joonisel 5.12.



Joonis 5.12. Funktsioon  $\varrho = 2r \cos \varphi$

**Näide 2.** Teisendame polaarkoordinaatidesse ilmutamata kujul esitatud funktsiooni  $(x^2 + y^2)^2 = a^2(x^2 - y^2)$ , kus konstant  $a > 0$ .

Selle funktsiooni graafiku joonestamine ristkoordinaatides on küllaltki keeruline. Teisendame funktsiooni teisenduste (5.6) abil polaarkoordinaatidesse. Asendades muutujad  $x$  ja  $y$ , saame  $\varrho^4 = a^2(\varrho^2 \cos^2 \varphi - \varrho^2 \sin^2 \varphi)$ . Pärast saadud võrduse jagamist  $\varrho^2$ -ga saame  $\varrho^2 = a^2 \cos 2\varphi$  ehk

$$\varrho = a\sqrt{\cos 2\varphi}.$$

Jälle on funktsioon polaarkoordinaatides oluliselt lihtsam kui ristkoordinaatides. Paneme tähele, et joon tekib piirkonda, kus  $\cos 2\varphi \geq 0$  ehk  $-\frac{\pi}{4} \leq \varphi \leq \frac{\pi}{4}$  või  $\frac{3\pi}{4} \leq \varphi \leq \frac{5\pi}{4}$ . Andes esimeses piirkonnas polaarnurgale  $\varphi$  väärtusi, arvutame vastavad polaarkauguse  $\varrho$  väärtused

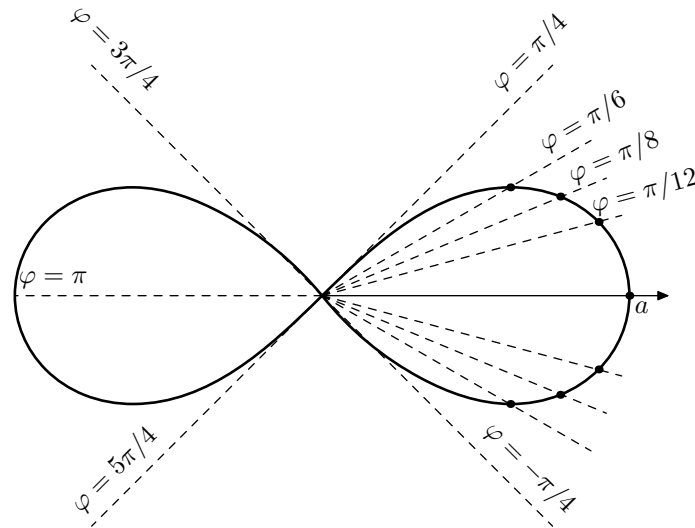
$\varphi$	0	$\pm \frac{\pi}{12}$	$\pm \frac{\pi}{8}$	$\pm \frac{\pi}{6}$	$\pm \frac{\pi}{4}$
$\varrho$	$a$	$a\sqrt{\frac{\sqrt{3}}{2}}$	$a\sqrt{\frac{\sqrt{2}}{2}}$	$a\sqrt{\frac{1}{2}}$	0

ja andes teises piirkonnas  $\varphi$ -le väärtusi, leiame

$\varphi$	$\pi$	$\pi \pm \frac{\pi}{12}$	$\pi \pm \frac{\pi}{8}$	$\pi \pm \frac{\pi}{6}$	$\pi \pm \frac{\pi}{4}$
$\varrho$	$a$	$a\sqrt{\frac{\sqrt{3}}{2}}$	$a\sqrt{\frac{\sqrt{2}}{2}}$	$a\sqrt{\frac{1}{2}}$	0

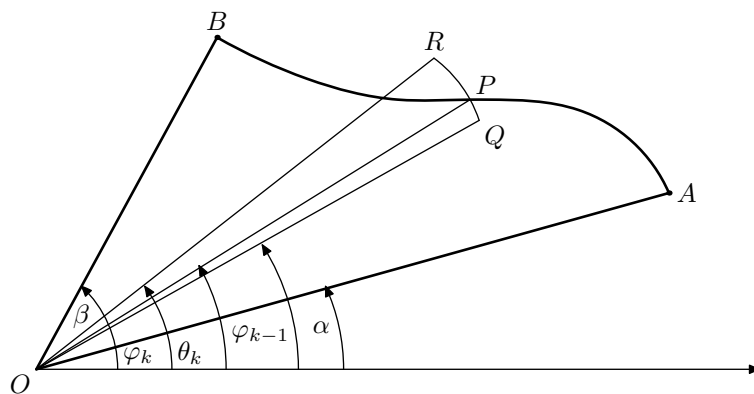


Asendame täpsed  $\varrho$  väärtused ligikaudsetega ja kanname polaarkoordinaadistikku punktid  $(0; a)$ ,  $(\pm \frac{\pi}{12}; 0, 93a)$ ,  $(\pm \frac{\pi}{8}; 0, 84a)$ ,  $(\pm \frac{\pi}{6}; 0, 71a)$ ,  $(\pi \pm \frac{\pi}{12}; 0, 93a)$ ,  $(\pi \pm \frac{\pi}{12}; 0, 84a)$ ,  $(\pi \pm \frac{\pi}{12}; 0, 71a)$  ja  $(\pi, a)$ . Tekkinud joont nimetatakse *Bernoulli lemniskaadiks*.



Joonis 5.13. Bernoulli lemniskaat

Tuletame valemi polaarkoordinaatides antud kõversektori pindala arvutamiseks. Olgu kõversektor  $OAB$  piiratud sirgetega  $\varphi = \alpha$  ja  $\varphi = \beta$  ning joonega  $\varrho = \varrho(\varphi)$  (joonis 5.14). Antud kõversektoris polaarnurk  $\alpha \leq \varphi \leq \beta$ .



Joonis 5.14. Kõversektor

Jaotame lõigu  $[\alpha; \beta]$  suvalisel viisil  $n$  osalõiguks punktidega

$$\alpha = \varphi_0 < \varphi_1 < \dots < \varphi_{k-1} < \varphi_k < \dots < \varphi_n = \beta.$$

Igale jaotuspunktile vastab üks nurk polaarkoordinaadistikus.

Igal osalõigul valime suvalise punkti  $\theta_k \in [\varphi_{k-1}; \varphi_k]$  ja lähendame kõversektorit, mille kesknurk on  $\Delta\varphi_k = \varphi_k - \varphi_{k-1}$  ringi sektoriga  $OQR$ , mille kesknurk on  $\Delta\varphi_k$  ja raadius polaarkaugus  $\varrho(\theta_k)$  fikseeritud nurga  $\theta_k$  korral. Joonisel vastab raadiusele lõik  $OP$ .

Kokku tekib meil  $n$  sellist ringi sektorit. Neist  $k$ -nda pindala on sektori pindala valemi järgi  $\frac{\varrho^2(\theta_k)\Delta\varphi_k}{2}$ . Liites kõikide ringi sektorite pindalad kokku, saame ligikaudu kõversektori  $OAB$  pindala

$$\sum_{k=1}^n \frac{\varrho^2(\theta_k)}{2} \Delta\varphi_k.$$

Viimane summa on funktsiooni  $\frac{\varrho^2(\varphi)}{2}$  integraalsumma lõigul  $[\alpha; \beta]$ . Tähistame maksimalse osalõigu pikkuse  $\lambda = \max_{1 \leq k \leq n} \Delta\varphi_k$  ja vaatleme piirprotsessi  $\lambda \rightarrow 0$ . See aga tähendab, et kõikide sektorite kesknurgad kahanevad tõkestamatult ja sektorite pindalade summa hakkab üha täpsemalt esitama kõversektori  $OAB$  pindala. Kui eeldada funktsiooni  $\varrho = \varrho(\varphi)$  pidevust lõigul  $[\alpha; \beta]$ , siis eksisteerib integraalsumma piirväärtus

$$\lim_{\lambda \rightarrow 0} \sum_{k=1}^n \frac{\varrho^2(\theta_k)}{2} \Delta\varphi_k = \frac{1}{2} \int_{\alpha}^{\beta} \varrho^2(\varphi) d\varphi.$$

Järelikult arvutatakse kõversektori  $OAB$  pindala valemi

$$S = \frac{1}{2} \int_{\alpha}^{\beta} \varrho^2(\varphi) d\varphi \quad (5.9)$$

abil.

**Näide 3.** Arvutame Bernoulli lemniskaadiga  $\varrho = a\sqrt{\cos 2\varphi}$  piiratud piirkonna pindala.

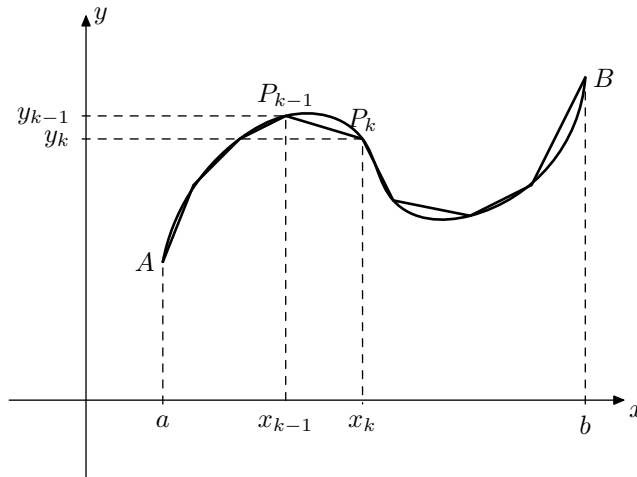
Jooniselt 5.13 on ilmne, et sümmeetria tõttu piisab veerandi kujundi pindala arvutamisest ja selle 4-ga korrutamisest. Võtame selleks veerandiks osa, kus  $0 \leq \varphi \leq \frac{\pi}{4}$  ja arvutame valemi (5.9) abil

$$S = 4 \cdot \frac{1}{2} \int_0^{\frac{\pi}{4}} \varrho^2 d\varphi = 2 \int_0^{\frac{\pi}{4}} a^2 \cos 2\varphi d\varphi = a^2 \int_0^{\frac{\pi}{4}} \cos 2\varphi d(2\varphi) = a^2 \sin 2\varphi \Big|_0^{\frac{\pi}{4}} = a^2.$$

## 5.11 Kõverjoone kaare pikkus

Vaatleme joont  $AB$ , mis on funktsiooni  $y = f(x)$  graafikuks (joonis 5.15). Tähistame punkti  $A$  abstsissi  $a$ -ga ja punkti  $B$  abstsissi  $b$ -ga. Eeldame, et funktsioon  $f(x)$  on lõigul  $[a; b]$  pidev ja omab vahemikus  $(a; b)$  pidevat tuletist. Niisugustel eeldustel nimetatakse joont  $AB$  *siledaks*.

Valime joonel  $AB$  punktid  $A = P_0, P_1, \dots, P_{k-1}, P_k, \dots, P_n = B$  nii, et iga järgmise punkti abstsiss  $x_k$  oleks eelmisest  $x_{k-1}$  suurem,



Joonis 5.15. Kõverjoon ja sellesse joonestatud murdjoon

st  $\Delta x_k = x_k - x_{k-1} > 0$ . Ühendame punktid  $P_{k-1}$  ja  $P_k$  ( $k = 1, 2, \dots, n$ ) sirglõikudega. Nii tekib murdjoon  $P_0P_1 \dots P_{k-1}P_k \dots P_n$ . Tähistades murdjoone  $k$ -nda lüli pikkuse  $\Delta s_k$ , saame murdjoone pikkuseks summa

$$\sum_{k=1}^n \Delta s_k. \quad (5.10)$$

Piirprotsess  $\max_{1 \leq k \leq n} \Delta s_k \rightarrow 0$  kindlustab murdjoone kõikide lülide pikkuste lähenemise 0-le.

**Definitsioon 1.** Kõverjoone kaare pikkuseks  $s$  nimetatakse sellesse kujundatud murdjoone pikkuse piirväärtust murdjoone pikima lüli lähenemisel 0-le, st

$$s = \lim_{\max_{1 \leq k \leq n} \Delta s_k \rightarrow 0} \sum_{k=1}^n \Delta s_k. \quad (5.11)$$

Punkti alguses tehtud eeldustel tuleb sellest definitsioonist lähtudes valemi kõverjoone kaare  $AB$  pikkuse arvutamiseks. Olgu  $\Delta y_k = y_k - y_{k-1}$ . Siis kõverjoone  $k$ -nda lüli pikkus on

$$\Delta s_k = \sqrt{\Delta x_k^2 + \Delta y_k^2} = \sqrt{1 + \left(\frac{\Delta y_k}{\Delta x_k}\right)^2} \Delta x_k,$$

sest konstruktsiooni tõttu  $\Delta x_k \geq 0$ . Funktsioon  $f(x)$  rahuldab Lagrange'i teoreemi eeldusi, seega leidub selline  $\xi_k \in (x_{k-1}, x_k)$ , et

$$\frac{\Delta y_k}{\Delta x_k} = \frac{y_k - y_{k-1}}{x_k - x_{k-1}} = f'(\xi_k)$$

ja

$$\Delta s_k = \sqrt{1 + (f'(\xi_k))^2} \Delta x_k.$$

Kui  $\Delta s_k \rightarrow 0$  siis ka  $\Delta x_k \rightarrow 0$  ja definitsioon 1 järgi

$$s = \lim_{\max_{1 \leq k \leq n} \Delta x_k \rightarrow 0} \sum_{k=1}^n \sqrt{1 + (f'(\xi_k))^2} \Delta x_k.$$

Viimane summa on funktsiooni  $\sqrt{1 + [f'(x)]^2}$  integraalsumma. Seega määratud integraali definitsiooni kohaselt arvutatakse kaare  $AB$  pikkus valemist

$$s = \int_a^b \sqrt{1 + [f'(x)]^2} dx. \quad (5.12)$$

**Näide 1.** Arvutame naturaallogaritm  $y = \ln x$  graafiku kaare pikkuse, kui  $x \in [1; \sqrt{3}]$ .

Leiame  $y' = \frac{1}{x}$ ,  $1 + y'^2 = 1 + \frac{1}{x^2}$  ja  $\sqrt{1 + y'^2} = \frac{\sqrt{x^2 + 1}}{x}$ . Valemi (5.12) järgi

$$s = \int_1^{\sqrt{3}} \sqrt{x^2 + 1} \cdot \frac{dx}{x}.$$

Saadud integraalis teeme muutuja vahetuse  $t = \sqrt{x^2 + 1}$  ehk  $t^2 = x^2 + 1$  ja  $2t dt = 2x dx$ , millest pärast mõlema poole jagamist suurusega  $2x^2$  saame, et  $\frac{dx}{x} = \frac{t dt}{x^2} = \frac{t dt}{t^2 - 1}$ . Kui  $x = 1$ , siis  $t = \sqrt{2}$  ja kui  $x = \sqrt{3}$ , siis  $t = 2$ . Pärast muutuja vahetust

$$\begin{aligned} s &= \int_{\sqrt{2}}^2 t \cdot \frac{t dt}{t^2 - 1} = \int_{\sqrt{2}}^2 \frac{t^2 - 1 + 1}{t^2 - 1} dt = \int_{\sqrt{2}}^2 dt - \int_{\sqrt{2}}^2 \frac{dt}{1 - t^2} = \\ &= 2 - \sqrt{2} - \frac{1}{2} \ln \left| \frac{1+t}{1-t} \right|_{\sqrt{2}}^2 = 2 - \sqrt{2} - \frac{1}{2} \ln 3 + \frac{1}{2} \ln \frac{\sqrt{2} + 1}{\sqrt{2} - 1} = \\ &= 2 - \sqrt{2} + \frac{1}{2} \ln \frac{(\sqrt{2} + 1)^2}{2 - 1} - \ln \sqrt{3} = 2 - \sqrt{2} + \ln \frac{\sqrt{2} + 1}{\sqrt{3}} \approx 0,918. \end{aligned}$$

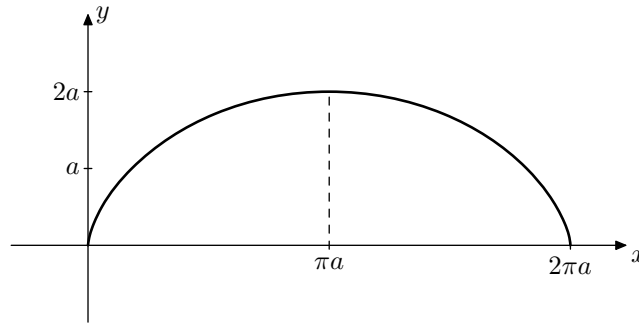
Olgu joon  $AB$  parameetrilisel kujul esitatud funktsiooni  $x = x(t)$  ja  $y = y(t)$  graafikuks. Olgu punktis  $A$  parameetri väärtus  $\alpha$  ja punktis  $B$  väärtus  $\beta$ . Eeldame, et funktsioonid  $x = x(t)$  ja  $y = y(t)$  on pidevad lõigul  $[\alpha; \beta]$ , et neil on pidevad tuletised vahemikus  $(\alpha; \beta)$  ja et  $\dot{x} > 0$ , st  $x = x(t)$  on rangelt kasvav funktsioon. Teeme kaare pikkuse arvutamise valemis (5.12) muutuja vahetuse, st lähme üle parameetritele  $t$ . Parameetrilisel kujul esitatud funktsiooni tuletis  $f'(x) = \frac{\dot{y}}{\dot{x}}$  ja diferentsiaal  $dx = \dot{x} dt$ . Kui  $x = a$ , siis  $t = \alpha$ . Kui  $x = b$ , siis  $t = \beta$ . Valemist (5.12) saame

$$s = \int_{\alpha}^{\beta} \sqrt{1 + \left(\frac{\dot{y}}{\dot{x}}\right)^2} \dot{x} dt.$$

Arvestades eeldust  $\dot{x} > 0$  saame vaadeldaval juhul joone kaare pikkuse arvutamiseks valemi

$$s = \int_{\alpha}^{\beta} \sqrt{\dot{x}^2 + \dot{y}^2} dt. \quad (5.13)$$

**Näide 2.** Arvutame tsükloidi  $x = a(t - \sin t)$ ,  $y = a(1 - \cos t)$  ühe kaare pikkuse.



Joonis 5.16. Tsükloidi kaar, kui  $t \in [0; 2\pi]$

Tsükloid on tsükliline joon, mille üks kaar moodustub, kui parameeter  $t$  muutub väärtusest 0 väärtuseni  $2\pi$ . Leiame tuletised  $\dot{x} = a(1 - \cos t)$  ja  $\dot{y} = a \sin t$  ning nende ruutude summa  $\dot{x}^2 + \dot{y}^2 = a^2(1 - \cos t)^2 + a^2 \sin^2 t = a^2(1 - 2 \cos t + \cos^2 t + \sin^2 t) = 2a^2(1 - \cos t) = 4a^2 \sin^2 \frac{t}{2}$ . Järelikult  $\sqrt{\dot{x}^2 + \dot{y}^2} = 2a \sin \frac{t}{2}$ .

Nüüd saame valemi (5.13) abil

$$s = 2a \int_0^{2\pi} \sin \frac{t}{2} dt = 4a \int_0^{2\pi} \sin \frac{t}{2} d\left(\frac{t}{2}\right) = 4a \left(-\cos \frac{t}{2}\right) \Big|_0^{2\pi} = 8a.$$

**Märkus.** Ruumilise joone parameetriliste võrranditega  $x = x(t)$ ,  $y = y(t)$  ja  $z = z(t)$  kaare pikkuse arvutamiseks parameetri muutumisel lõigul  $[\alpha; \beta]$  kehtib valemiga (5.13) analoogiline valem

$$s = \int_{\alpha}^{\beta} \sqrt{\dot{x}^2 + \dot{y}^2 + \dot{z}^2} dt. \quad (5.14)$$

**Näide 3.** Leiame kruvijoone  $x = a \cos t$ ,  $y = a \sin t$ ,  $z = bt$ , kus  $a$  ja  $b$  on positiivsed konstandid, esimese keermepikkuse.

Kruvijoone esimene keere moodustub, kui  $0 \leq t \leq 2\pi$ . Valemi (5.14) rakendamiseks leiame  $\dot{x} = -a \sin t$ ,  $\dot{y} = a \cos t$ ,  $\dot{z} = b$  ja

$$\dot{x}^2 + \dot{y}^2 + \dot{z}^2 = a^2 + b^2.$$

Valemi (5.14) järgi saame krüvijoone esimese keerme pikkuseks

$$s = \int_0^{2\pi} \sqrt{a^2 + b^2} dt = 2\pi\sqrt{a^2 + b^2}.$$

Olgu joone kaareks polaarkoordinaatides esitatud funktsiooni  $\varrho = \varrho(\varphi)$  graafik, kui  $\varphi \in [\alpha; \beta]$ . Asendades ristkoordinaatidelt polaarkoordinaatidele ülemineku valemities (5.6) muutuja  $\varrho$  tema avaldisega  $\varphi$  kaudu, saame joone parameetrilised võrrandid

$$\begin{aligned} x &= \varrho(\varphi) \cos \varphi \\ y &= \varrho(\varphi) \sin \varphi, \end{aligned}$$

kus parameetriks on polaarnurk  $\varphi$ .

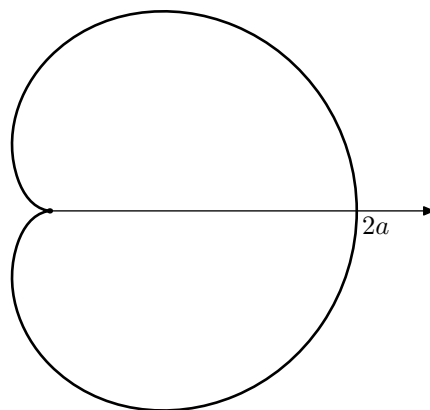
Kaare pikkuse valemit tuletamiseks kasutame valemit (5.13). Selleks leiame  $\dot{x} = \varrho'(\varphi) \cos \varphi - \varrho(\varphi) \sin \varphi$  ja  $\dot{y} = \varrho'(\varphi) \sin \varphi + \varrho(\varphi) \cos \varphi$  ning

$$\begin{aligned} \dot{x}^2 + \dot{y}^2 &= \varrho'^2(\varphi) \cos^2 \varphi - 2\varrho'(\varphi) \cos \varphi \varrho(\varphi) \sin \varphi + \varrho^2(\varphi) \sin^2 \varphi + \\ &+ \varrho'^2(\varphi) \sin^2 \varphi + 2\varrho'(\varphi) \sin \varphi \varrho(\varphi) \cos \varphi + \varrho^2(\varphi) \cos^2 \varphi = \\ &= \varrho'^2(\varphi)(\cos^2 \varphi + \sin^2 \varphi) + \varrho^2(\varphi)(\sin^2 \varphi + \cos^2 \varphi) = \varrho'^2(\varphi) + \varrho^2(\varphi). \end{aligned}$$

Seega saame valemist (5.13) polaarkoordinaatides esitatud joone  $\varrho = \varrho(\varphi)$ , kus  $\alpha \leq \varphi \leq \beta$ , kaare pikkuse arvutamiseks valemi

$$s = \int_{\alpha}^{\beta} \sqrt{\varrho'^2 + \varrho^2} d\varphi. \quad (5.15)$$

**Näide 4.** Arvutage kardioidi  $\varrho = a(1 + \cos \varphi)$  pikkuse (joonis 5.17).



Joonis 5.17. Kardioid

Selle tõttu, et  $\cos \varphi$  on paarisfunktsioon, on kardioid polaartelje suhtes sümmeetriline joon. Kogu kardioidi pikkuse arvutamiseks arvutame poole

kardioidi (selle osa, kus  $0 \leq \varphi \leq \pi$ ) pikkuse ja korrutame kahega. Valemi (5.15) kasutamiseks leiame  $\varrho' = -a \sin \varphi$  ja

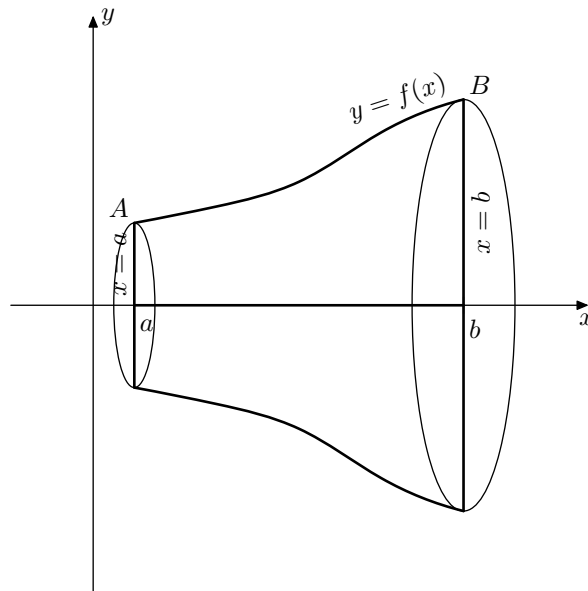
$$\varrho^2 + \varrho'^2 = a^2(1 + \cos \varphi)^2 + a^2 \sin^2 \varphi = 2a^2(1 + \cos \varphi) = 4a^2 \cos^2 \frac{\varphi}{2}.$$

Nüüd valemi (5.15)

$$s = 2 \int_0^\pi 2a \cos \frac{\varphi}{2} d\varphi = 8a \int_0^\pi \cos \frac{\varphi}{2} d\left(\frac{\varphi}{2}\right) = 8a \sin \frac{\varphi}{2} \Big|_0^\pi = 8a.$$

## 5.12 Pöördkeha ruumala

Rahuldagu lõigul  $[a; b]$  määratud ja pidev funktsioon  $f(x)$  tingimust  $f(x) \geq 0$ . Olgu kõvertrapets (joonis 5.18)  $abBA$  piiratud  $x$ -teljega, sirgetega  $x = a$ ,  $x = b$  ja funktsiooni  $y = f(x)$  graafikuga. Paneme kõvertrapetsi pöörlema ümber  $x$ -telje.

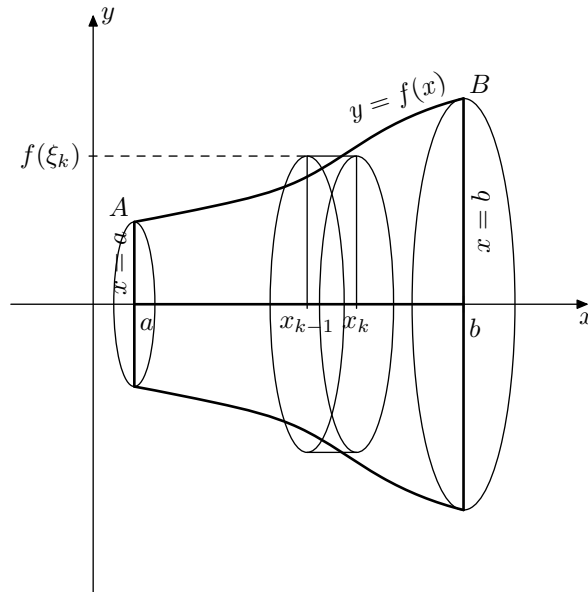


Joonis 5.18. Kõvertrapetsi pöörlemisel ümber  $x$ -telje tekkinud pöördkeha

Seame eesmärgiks tuletada tekkinud pöördkeha ruumala. Jaotame lõigu  $[a; b]$  vabalt valitud punktidega

$$a = x_0 < x_1 < \dots < x_{k-1} < x_k < \dots < x_n$$

$n$  osalõiguks. Igal osalõigul valime suvalise punkti  $\xi_k \in [x_{k-1}; x_k]$ . Jaotame pöördkeha  $x$ -teljega ristuvate tasanditega  $x = x_k$  ( $k = 0, 2, \dots, n$ ) kihtideks. Lähendame kihi, mis jääb tasandite  $x = x_{k-1}$  ja  $x = x_k$  vahele, ruumala niisuguse silindri ruumalaga, mille raadius on  $f(\xi_k)$  ja kõrgus  $\Delta x_k = x_k - x_{k-1}$ . Selle silinri ruumala on  $\Delta v_k = \pi f^2(\xi_k) \Delta x_k$ .



Joonis 5.19. Pöördkeha lähendamine silindrite ruumalade summaga

Kõikide niisuguste silindrite ruumalade summa

$$\sum_{k=1}^n \pi f^2(\xi_k) \Delta x_k$$

on funktsiooni  $\pi f^2(x)$  integraalsumma. Selle summa piirväärtus piirprotsessis

$\max_{1 \leq k \leq n} \Delta x_k \rightarrow 0$  on võrdne integraaliga  $\pi \int_a^b f^2(x) dx$ . Seega on joone  $y = f(x)$ , kus  $x \in [a; b]$  pöörlemisel ümber  $x$ -telje tekkiva pöördkeha ruumala  $V$  arvutatav valemist

$$V = \pi \int_a^b y^2 dx. \quad (5.16)$$

**Näide 1.** Leiame poolringjoone  $y = \sqrt{r^2 - x^2}$  pöörlemisel ümber  $x$  telje tekkinud pöördkeha ruumala.

Poolringjoon on sümmeetrilise  $y$ -telje suhtes. Seepärast leiame veerandringjoone, kus  $0 \leq x \leq r$  pöörlemisel ümber  $x$ -telje tekkinud pöördkeha ruumala ja korrutame tulemuse kahega. Valemist (5.16) saame  $y^2 = r^2 - x^2$  tõttu, et

$$V = 2\pi \int_0^r (r^2 - x^2) dx = 2\pi \left( r^2 x - \frac{x^3}{3} \right) \Big|_0^r = 2\pi \left( r^3 - \frac{r^3}{3} \right) = \frac{4\pi r^3}{3}.$$